コンクリート工学年次論文報告集 10-3 1988

論文

[2056] 鉄筋コンクリートばりの長期たわみ解析と その適合性について

 正会員
 杉野目
 章(室蘭工業大学)

 同
 井野
 智(北海道大学工学部)

伊 藤 正 義(北海道工業大学)

正会員 〇駒 込 環(北海道大学大学院)

はじめに 筆者らは先に、曲げひび割れの生じたはりや床スラブの剛性を、同じたわみを与える弾性曲げ部材の有効断面 2 次モーメントで表し¹⁾、 はり柱の連成を考慮した床スラブの初期たわみとコンクリートの時間依存性を考慮した長期たわみ解析法を提案した²⁾。 この解析方法は、A C I 規準(1983)に準拠して行っている点が多く、例えば、ひび割れ発生部材のスパン方向の剛性を一様とし、部材のスパン中央の配筋のみで長期たわみを算定するなど、ひび割れ領域や配筋状況を正確に反映していない。これらの計算上の不備を補うためには、 はりまたは床スラブのスパン方向の剛性分布が不均一な、所謂、変断面部材について解析を行う必要がある。

本論文では、まず、使用荷重下でひび割れが生じ変断面となる鉄筋コンクリートばりまたは一方向床スラブをスパン方向に分割し、節点の断面性能を修正しながら有限差法による弾性解析を繰り返して初期たわみを求め、さらにコンクリートの材料性状を修正することにより任意材令における長期たわみを予測し得ることを示した。次いで、既往の長期載荷実験によって本解析方法の適合性を検討したのち、境界条件、断面寸法等の異なる多数のはり材について、材令を無限大とした時のたわみ(終局たわみと呼ぶ)計算を行い、常用断面のはり材の長期たわみ性状や使用限界等について論じた。

1 解析方法

1. 1 基本式と弾性たわみ

はり左端からの距離xにおける曲げモーメントをMx、たわみをy、分布荷重と断面2次モーメントが変化する場合も扱えるようにそれぞれqx、1xで表すと、これらに関する微分方程式は以下のようになる。

または

$$\frac{d^2}{d^2} \left(1_x - \frac{d^2y}{d^2} \right) = \frac{q_x}{g_x} \tag{3}$$

ただし、 &: コンクリートのヤング係数 図1のようにはり材を m等分したときの

(2) 式と(3)式の差分表示は

$$M_i = -EI_i(y_{i-1} - 2y_i + y_{i+1})/\Delta x^2$$

k₁₋₁y₁₋₂-2(k₁₋₁+k₁)y₁₋₁+(k₁₋₁+4k₁+k₁₊₁)y₁-2(k₁+k₁₊₁)y₁₊₁+k₁₊₁y₁₊₂ = q₁Δx⁴/Ela (5) ここで、k₁: 分割点の剛比 (=l₁/l₈) 、la: 基準断面 2 次モーメント、Δx: 分割幅 (=Lx/m)

単純支持端の境界条件は、両端においてy=0すなわち $y_0=0$, $y_m=0$ であり、M=0 すなわち $d^2y/dx^2=0$ を差分表示すると

任:本論文は著者らの既発表の方法^{13,14)}を発展させ適合性の検討と計算例を付加したものである。

 $(y_{-1}-2y_8+y_1)/dx^2=0$, $\therefore y_{-1}=-y_1$, $(y_{n-1}-2y_n+y_{n+1})/dx^2=0$, $\therefore y_{n+1}=-y_{n-1}$ 固定端の境界条件はy=0、すなわち $y_8=0$, $y_m=0$ であり、dy/dx=0ゆえこれを差分表示すると

 $(y_1 - y_{-1})/2dx = 0$, $\therefore y_{-1} = y_1$, $(y_{m+1} - y_{m-1})/2dx = 0$, $\therefore y_{m+1} = y_{m-1}$

となる。全節点の剛比 $k_{i(i=0,1,...m)}=1.0$ とおいて、(5)式と境界条件より作成した $y_{i(i=1,2)}$... $x_{i=1}$ に関する連立 1 次方程式を解き、弾性たわみdeを得る。

1. 2 初期たわみ

前項の計算結果を(4)式に代入して得られる各分割点の曲げモーメント Maが、同点のひび割れモーメント Marを超過するか否かを吟味し、超過する場合には、鉄筋を無視した全コンクリート断面とひび割れ断面の断面2次モーメント lga, lorを用い、次のBranson式で当該分割点の有効断面2次モーメントを算定する1)。

$$I_{\bullet} = (M_{cr}/M_{a})^{4} I_{g8} + [1 - (M_{cr}/M_{a})^{4}] I_{cr}$$
 (7)

長方形断面の1。よは

$$lor = b(cd)^3/12 + bcd(cd/2)^2 + nA_s(cd-d)^2 + nA_s(d-cd)^2$$
(8)

ここで、b: はり幅、c: 中立軸比、d: 圧縮縁から引張鉄筋重心までの距離、d: 圧縮縁から圧縮 鉄筋重心までの距離、n: ヤング係数比、As: 引張鉄筋断面積、As: 圧縮鉄筋断面積

ただし、引張鉄筋比ρ(=As/bd)と圧縮鉄筋比ρ(=As/bd)を用いると中立軸比cは

$$c = \sqrt{(2n(\rho + \rho d/d) + n^2(\rho + \rho)^2} - n(\rho + \rho)$$
(9)

正の曲げ領域ではスラブの接合効果を考慮する必要があるが、スラブの協力幅 Bは学会規準式によるものとし、 $\rho=As/Bd$ 、 $\rho=As/Bd$ とおき、(9)式で計算した中立軸がスラブ内にある場合のT形断面の l_0 、は

$$lor = B(cd)^3/12 + Bcd(cd/2)^2 + nA_s(cd - d)^2 + nA_s(d - cd)^2$$
 (10)

中立軸がスラブ外にある場合は、

$$c = \frac{t^2/d^2 + 2n(\rho + \rho d/d)}{2[t/d + n(\rho + \rho)]}$$
(12)

一方、Maの絶対値がMcr以下となる部分の

1。(=1。)は鉄筋の影響を考慮するものとし、

計算に必要な諸元を図2のように表すと

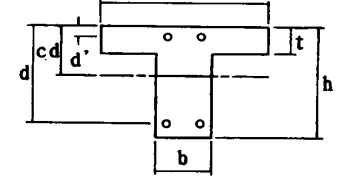


図2 T形断面のIg計算に必要な諸元

 $l_0 = bh^3/12 + bh(h/2 - cd)^2 + (B - t)t^3/12 + (B - b)t(cd - t/2)^2 + nAs(d - cd)^2 + nA \cdot s(cd - d)^2$

$$c = \frac{t^2/d^2(1-b/B) + bh^2/(Bb^2) + 2n(\rho + \rho d/d)}{2[t+b(h-t)/B]/d + 2n(\rho + \rho)}$$
(13)

(13),(14)式はT形断面用であるが、長方形断面に適用するときは、t=0, B=bとする。 $(7)\sim(14)$ 式で求めたI。を用いて、はり材各分割点の剛比を修正しながら、解が収束するまで前項の計算を繰り返すことにより、コンクリートの曲げひび割れを考慮したはり材の初期たわみAiが求まる。

1.3 定着筋の滑りによる付加たわみ

床スラブ固定端の定着筋の滑りによる付加たわみ/sは、スラブのスパン板厚比が大きい場合、 特に端部上端筋が施工不良で沈降している場合に大きく、はりにおけるこの影響は十分無視でき る程度のものである²⁾。 従って、定着筋の滑りはスラブに対してのみ勘案することとした。

スラブの端部上端鉄筋定着部の滑り量uによる固定端の回転角hetaは、(9)式からひび割れ断面の中立軸を求め、これを回転軸と考えると、次式で計算できる。

$$\theta = u/(d-cd) \tag{15}$$

スラブ筋定着部の滑りによる付加たわみ Δ sは、固定辺に沿って節点ごとに θ を算出し、これによって床スラブの周辺を強制変形したときの解から計算される。すなわち、(5)式で $q_i=0$ とし、(y_1-y_{-1})/ $2\Delta x=0$, ($y_{m-1}-y_{m+1}$)/ $2\Delta x=0$ によって外点に関する項を消去することにより、付加たわみを算出する連立方程式を得る。

1. 4 長期たわみ

初期たわみdiとクリープたわみの和di+cpを求める方法として、Large、 Branson、Mayer、Beeby 等の論文^{13・14)}に見られる「ヤング係数比増大法」を採用する。これは、クリープのひずみ増大のたわみに及ぼす影響を表すのに、有効ヤング係数とよばれる見掛けのヤング係数を導入することにより、弾性または初期たわみと同じように di+cpの計算を行おうとするもので、載荷開始材令、載荷期間、環境条件などで決まるコンクリートのクリープ係数 øtを用い、コンクリートの有効ヤング係数 Ectと鉄筋のヤング係数比ntを

$$E_{\text{ot}} = E_{\text{o}}/(1+\phi_{\text{t}})$$
 (16) $n_{\text{t}} = n(1+\phi_{\text{t}})$ (17) で表し、(7)式の I_{or} および(13)式の I_{o} を再計算する。曲げモーメントは変わらぬものとして求めた各分割点の I_{o} から剛比を計算して(5)式の係数を定め、同方程式の右辺の E_{o} を E_{ot} としたときの解が I_{i} +cpとなる。

di+cpを求めたと同じ手順で、di+cpに収縮たわみdshを加算したたわみdi+cp+shを算定する。 クリープと乾燥収縮の影響を考慮したコンクリートの有効ヤング係数 Eotと鉄筋のヤング係数比n··tは、次のYuとWinterの提案式による 3)。

$$E_{\rm ct}=E_{\rm c}/(1+0.93\alpha E_{\rm c} Y t^{1/3}/a^{1/2.5})$$
 (18) $n't=E_{\rm s}/E_{\rm ct}$ (19) ここで、 $E_{\rm c}$: (前出)、 Y : 載荷年数による倍率、 t : 載荷日数(ただし 1 年以上は $t=365$)、 a : 載荷開始材令(日数)、 α : 筆者が導入したコンクリートスランプの影響係数(スランプが $18cm$ 内外では 1.25) $^{4)}$ 、 $E_{\rm s}$: 鉄筋のヤング係数

(18)式の分母の2項目は、コンクリートのクリーブと収縮ひずみに関する Shankの実験式であり 13 、年単位のY値が与えられているが、これらを回帰分析すると、次の3次多項式が得られる。

$$Y = 1.259 + 0.0592(N-3) - 0.0236(N-3)^2 + 0.0058(N-3)^3$$
 (20)

ただし、N: 載荷年数

2 解析手順

コンクリートの曲げひび割れと時間依存性、並びに定着筋の滑りを考慮したはりまたは一方向 床スラブのたわみ解析の手順を以下に要約する。

- (1) 部材をスパン方向に等分し、有限差法による弾性解析を行い、長期持続荷重下の弾性たわみ deを求める。
- (2) 弾性解から荷重履歴中最大荷重(通常は施工時荷重)下の曲げモーメントを求め、コンクリートのヤング係数をE。、ヤング係数比をnとして、各節点の有効曲げ剛度E。l。、E。lgを決める。
- (3) 有限差法によりひび割れ領域ではEolo、ひび割れ領域外では鉄筋を考慮したEoloを曲げ剛度とする部材のたわみ解析を行い、最大荷重下の曲げモーメントM1を求める。
- (4) 固定端がひび割れ領域となる場合、前項で得られる端モーメントを用い、定着筋の滑りによる付加たわみ Asと曲げモーメント M2 を求め、付加モーメントを前項の M1 に加算し、ひび割れ領域の曲げ剛度を修正する。
 - (5) 各節点の曲げ剛度が収斂するまで(3)、(4)の手順を繰り返す。

- (6) コンクリートの有効ヤング係数 E_{ct} と有効ヤング係数 L_{nt} を用いて部材の曲げ剛度を修正し、(3)の解析を行い、長期持続荷重下における載荷材令 t日のたわみ Δt = Δi +cpを得る。ただし、 I_{e} の計算には、上記の M_1+M_2 を用いる。
 - (7) 前項のEct、ntをEct、n'tに変えるとAt=Ai+cp+shを得る。
 - (8) 総たわみ As+Atを計算する。

3 本解法の適合性の検討

Washa & Fluck 5,6)、Yu & Winter 3)、 岩原 7,8)、山本 9)、 松崎 18)、 小森 11) らが行った等分布荷重による鉄筋コンクリートのはりまたは一方向床スラブの長期載荷実験 8 例を採り上げ、本解法によって求めた初期たわみと長期たわみを、実測値と比較してみる。

検討対象は、単純支持62体、一端固定他端単純支持18体、両端固定11体で、単純支持部材の内6体がT形断面、あとは全て長方形断面である。計算に当たっては、コンクリートの引張強度を $1.8\sqrt{F_o}$ (ただし、 F_o : コンクリートの圧縮強度)としたが、比較的スパンが小さくひび割れの少ない国内の実験については同値を $1.2\sqrt{F_o}$ とし、分割数を10とした。各試験体の諸元とたわみ実測値並びに本解法によるたわみ予測値を一括して表1に掲げる。

図3は、横軸に予測値をとり、縦軸に実測値をとって初期および長期たわみをブロットしたも

表1 既往の鉄筋コンクリートばりおよび一方向スラブの長期載荷実験のたわみ実測値と予測値の比較

発表者。 権 造型式	試験体 番号	コンクリー ト 村節 (日数)		コンクリー ト材料性状 (kg/cm²)		スパン	新面精元				戦荷 荷盤 たわる (E) 実				わみ予御値		46 专	
		教育 時	制定時	Fc,	Ec x10 ⁶	Lx =	8	b cm	t cm	h cm	A's (1)	qx kg/m	₫i c=	At cm	ái œ	At	Ateale Ateal	
Jasha-Fluck	AI, AA	14	900	255	2.08	6.1	20.3	20.3	-	30.5	As	563	1.35	2.36	1.50	2.51	1.06	スランプは15.2cm
[5]	A2, A5	14	900	255	2.08	6.1	20.3	20.3	-	30.5	As/2	563	1.57	3.23	1.57	3.23	1.00	
	A3, A6	14	900	255	2.08	6.1	20.3	20.3	- '	30.5	-	563	1.70	4.47	1.65	5.88	1.32	
単純支持長	BI, B4	14	900	212	1.91	6.1	15.2	15.2	[~ '	20.3	As	159	2.34	5.11	2.57	4.89	0.96	
方形ばり	82, 85 83, 86	14	900	212 212	1.91	6.1	15.2 15.2	15.2 15.2	_ :	20.3	As/2	159 159	2.49	6.50 8.64	2.63 2.70	5.95 9.58	0.92	
	C1. C4	14	900	208	1.88	6.3	30.5	30.5	= ,	12.7	As	122	2.64 4.01	8.00	4.29	7.48	0.94	
	C2. C5	14	900	208	1.88	6.3	30.5	30.5	_ `	12.7	As /2	122	4.34	10.06	4.42	9.27	0.92	
	C3, C6	14	900	208	1.88	6.3	30.5	30.5	l _	12.7	-	122	4.78	14.07	4.61	16.00	1.14	
	D1, D4	14	900	205	1.85	3.8	30.5	30.5	_	12.7	As	341	1.19	2.77	1.57	2.72	0.98	ſ
	02, 05	14	900	205	1.85	3.8	30.5	30.5	-	12.7	As/2	341	1.42	3.30	1.63	3.37	1.02	
	03, 06	14	900	226	1.92	3.8	30.5	30.5	-	12.7	-	341	1.78	4.45	1.65	5.83	1.31	
	E1, E4	14	900	210	1.88	5.3	30.5	30.5	-	7.6	As	57	5.94	12.40	5.28	10.30	0.83	ļ
	E2, E5	14	900	210	1.88	5.3	30.5		-	7.6	As/2	57	5.59	12.88	5.39	12.40	0.96	
	E3, E6	14	900	210	1.88	5.3	30.5	30.5		7.6	-	57	6.30	18.49	5.53	19.35	1.05	
Yu-Vinter	A .	30	180	259	1.80	6.1	30.5	15.2	6.4	30.5	-	655	3.40	6.73	3.22	5.66	0.84	スランプは6.4~8.9cm
[3] 単純支持	B	29 28	180	273	1.76	6.1	30.5	15.2	6.4	30.5	As/2	656	3.14	5.66	3.18	4.89	0.86	
平純文M T形ぱり	C	31	180	248 259	1.76	6.1	30.5 61.0	15.2 15.2	6.4	30.5	As	653 1196	3.02 3.23	5.18 6.71	3.15 3.51	4.44 5.90	0.86	
17542.9	Ě	29	180	299	1.84	4.3	30.5	15.2	6.4	30.5	-	1253	1.30	2.92	1.56	2.83	0.97	
	F	34	180	299	1.84	6.1	30.5	15.2	5.1	20.3	_	387	5.59	10.03	5.91	10.80	1.08	
Vasha-Fluck	†X1,X4	14	900	227	1.99	6.1	15.2	15.2		20.3	As	283	1.42	2.90	1.70	3.20	1.10	スランプは10.2~15.20
[6]	1X2,X5	14	900	227	1.99	6.1	15.2	15.2	_	20.3	As/2	283	1.45	3.23	1.72	3.60	1.11	,,,,,,,,,,,,,,,,,,,,,,,,,,,,,,,,,,,,,,,
	1X3,X6	14	900	227	1.99	6.1	15.2	15.2	-	20.3	-	283	1.57	3.78	1.75	4.74	1.25	
2スパン	171,74	14	900	236	2.04	6.3	30.5	30.5	-	12.7	As	217	2.26	4.60	2.70	4.73	1.03	}
連続/長	1Y2,Y5	14	900	236	2.04	6.3	30.5	30.5	-	12.7	As /2	217	2.36	4.98	2.75	5.35	1.07	
方形ばり	173,Y6	14	900	236	2.04	6.3	30.5	30.5	-	12.7	- 1	217	2.54	5.99	2.81	7.28	1.22	ł
	*Z1,Z4	14	900	232	2.10	5.3	30.5	30.5	-	7.6	As	101	2.64	5.89	3.48	6.60	1.12	
	†22,25	14	900	232	2.10	5.3	30.5	30.5	-	7.6	As/2	101	2.87	6.78	3.52	7.38	1.09	
Series Follow	123,76	14	900	232	2.10	5.3	30.3	30.3	 - -	7.6	-	101	3.05	7.98	3.56	9.54	1.20	7537410 F- (CI)
岩原[7],[8]	SL-1 SL-2	35 35	140	278 278	2.96 2.96	3.0	40.0	40.0	_	13.0	-	297 140	0.37 0.02	1.70	0.37	1.62	0.95	スランプは18.5cm(SL) 19.2cm(SN)
一方向	SL-2	35	140	278	2.96	3.0	40.0	40.0	-	13.0	=	297	0.02	0.90	0.32	1.28	1.42	19.208(58)
カトラ 帯スラブ	SL-4	35	140	278	2.96	3.0	40.0	40.0	_	13.0	_	297	0.68	1.92	0.32	2.06	1.07	
	•SN-1	30	856	204	2.32	4.0	45.0	45.0	_	13.7		430	0.14	2.22	0.91	1.94	0.87	1
	•SN-2	30	856	204	2.32	4.0	45.0	45.0	_	13.5	-	168	0.37		0.53	0.40	-	
	*SN-3	30	856	204	2.32	4.0	45.0	45.0	-	13.5	-	429	0.16	1.57	0.71	1.52	0.97	1
	•SN-4	30	856	204	2.32	4.0	45.0	45.0		13.3		427	0.17	1.78	1.51	2.92	1.64	L
山本[9]	23	56	350	306	2.42	4.0	40.0	40.0	-	13.0	-	195	_	3.25	0.83	2.78	0.86	スランプは18.0cm
一方向	S4	56	350	306	2.42	4.0	40.0	40.0	-	13.0	-	195	_	3.05	0.83	2.78	0.91	l
帯スラブ	•S1	56	350	306	2.42		40.0	40.0	-	13.0	-	231	-	2.30	1.49	2.61	1.13	ł
44.150.03	•\$2	56	350	306	2.42	5.3	40.0	40.0	<u> </u>	13.0		231	-	2.00	1.49	2.61	1.31	
松崎[10]	*Al	30	350	168	1.85	4.2	100.	100.	-	12.0	_	576	0.15	1.60	0.76	1.61	1.00	
一方向 帯スネア	•A2	30	350 350	168	1.85	4.2	100.	100.	_	12.0	_	468	0.10	1.16	0.47	1.23	1.06	
帯スラア 小森[11] ー	*A3	30 56	90	168 205	1.62	4.2 5.3	25.0	25.0	+=	12.0	 	288	3.10	6.30	3.38	5.61	0.89	
方向帯スラブ	•S2-8	56	90	205	1.62		25.0	25.0	1 🗆	10.0	1 🗆	60	1.30	4.60	3.36	5.46	1.19	1
ハルのエスプノ	34-0						ルスパ							TAN EN		1 4.40	1 1-10	<u> </u>

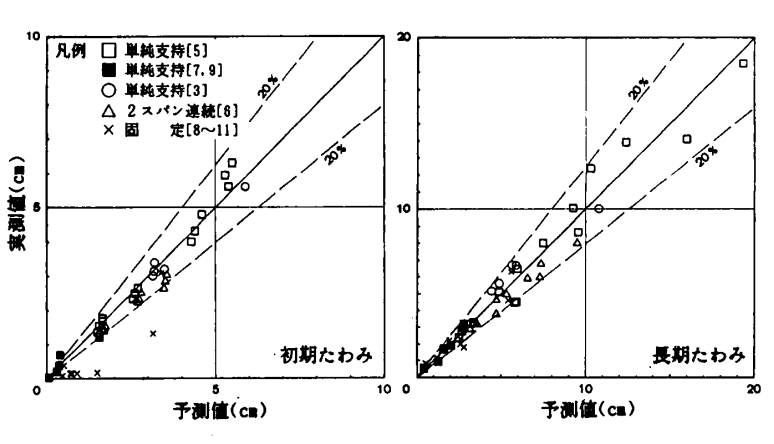


図3 たわみ実測値と予測値の対応

方法でも同じ計算を行ったが13)本解法の適合性が最も良好であった。

4 はり材の終局たわみ

4. 1 計算の概要 境界条件が両端単純支持、一端単純支持他端固定、両端固定となる3種類の小ばりと、1乃至2本に小ばりが取り付く両端固定の大ばりのスパンLx、支配幅Ly、はり幅b、スラブ厚t、材料性状、荷重等の諸元を表2のように設定し、はり丈は0.1Lx+20cmを上限とし、5 cm間隔で、あばら筋D10、主筋D19による2段配筋が可能なもの全てを検討対象とした。

4.2 大たわみの発生限界

計算した全てのはりの終局たわみ をスパンで除したもの(終局たわみ 率と呼ぶ)を、はり丈スパン比を指 標値として整理すると、小ばりの場 合が図4、大ばりの場合は図5のよ

表2 計算モデルの諸元

	小ばり	大ばり(日型・目型)	備 考
スパン Lx(cm)	450,650,750,800	600,750,900	スラブ厚は15cm
支配幅 Ly(cm)	200,300,400	450,600,750,900	
はり棚 b (cm)	25,30,35(Lx=450)	30,35,40(Lx=600)	日型・目型小ばり断面
	30,35,40(Lx=600,750)	35,40,45(L _x =750)	25x40(Lx=450),35x60(Lx=750)
	35,40,45(Lx=900)	40,45,50(Lx=900)	30x50(Lx=600),40x70(Lx=900)
材料性状	コンクリート強度F。	210 kg/cm ²	コンクリートの引張強度
	同ヤング係数ε。	210000 //	1.8√F ₆
	同有効ヤング係数Ect	26600 "	
	鉄筋のヤング係数E。	2100000 //	
荷重	仕上げ荷重	80 kg/m²	施工荷重はコンクリート
	設計用積載荷重	300 "	自重の 2.1倍
	長期積載荷重	100 //	

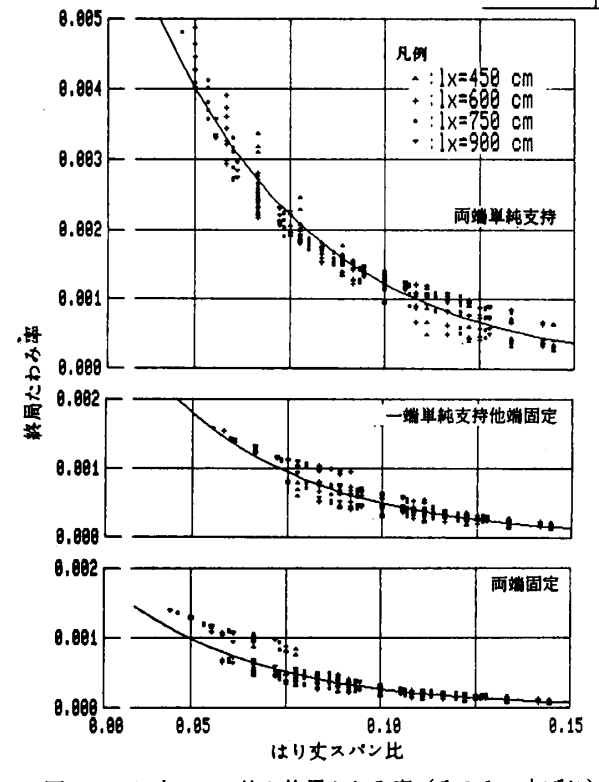


図4 はり丈スパン比と終局たわみ率(その1:小ばり)

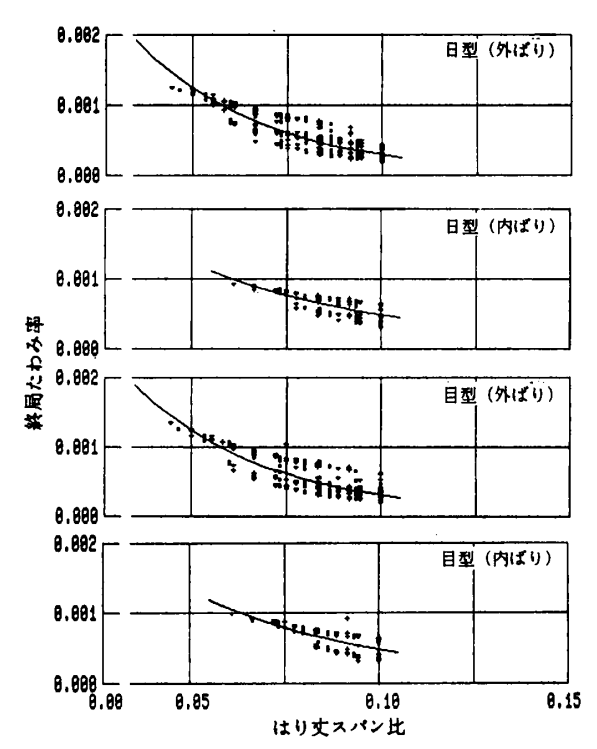


図5 はり丈スパン比と終局たわみ率(その2:大ばり)

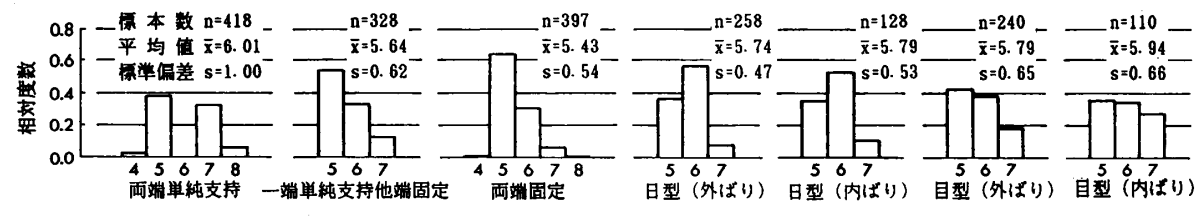


図6 弾性たわみを基準とした終局たわみ倍率の相対度数分布

うになる。本報告では、はり中央はT形ばりとして、曲げモーメントが負となる端部は長方形ばりとして配筋計算を行っている。従って、両端単純支持ばりの配筋可能なはり丈の下限値はかなり小さく、はり丈スパン比が 0.075以下で終局たわみ率は急激に大きくなる。仮に、使用限界たわみ率を0.002とすると、両端単純支持ばりでもはり丈スパン比を 0.08以上とすればよく、他の境界条件の小ばりや両端固定の大ばりでは、配筋可能な部材の終局たわみ率が0.0015を越えることは殆どない。

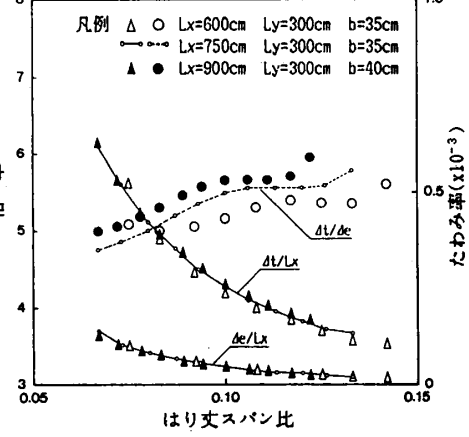
4.3 終局たわみ概算法について 図6は、計算した全てのはり材について、弾性たわみ deを規準とした終局たわみ dtの倍率 dt/deがどのような分布状況を示すかを表したもので、境界条件等によって若干異なる倍率の上限値をdeに乗ずることにより、そのdtを概算できよう。

同じ境界条件下でLx、Ly、bを一定とし、はり丈hのみを変えたときの終局たわみは、4次多項式を当てはめ十分な精度でその推移を表すことが可能である。また、図7のように、たとえばLy=3.0mとし、Lx=6.0,7.5,9.0m、はり幅を表2に掲げる三つの中央値にとると、上記4次多項式から得られるはり丈スパン比と初期または終局たわみ率との関係は、それぞれ一本の曲線で表示することができ、これから前述の倍率4t/deを式で表すことも可能である。

まとめ 以上のことから、①弾性たわみを基準とした終局たわみの倍率は4~8倍で平均約

6倍、②配筋可能な両端固定ばりおよび連続ばり外端にたわみ障害は起こらない、③単スパンの小ばりは配筋可能であってもたわみ障害を起こす危険性があること、などが明かとなった。引続き、対象を単スパンに限定し、直交大ばりのたわみとねじれを考慮した長期たわみ解析を行う所存であるが、ここでは両端単純支持ばりの計算を計果を用い、単スパンでははり丈スパン比を少なくても0.08以上とすべきことを提案し、本報告の結論とする。

なお、終局たわみ実用計算法の提示は、紙幅の関係で 次回に譲ることとする。



【 参考文献 】

図7 はり丈スパン比と弾性および終局たわみ率の関係

- 1) Branson, D. E. : Deformations of Concrete Structures, McGrawhill, 1977, pp.118~120.
- 2) 杉野目・井野・山村: 使用荷重下における鉄筋コンクリート床スラブたわみの予測計算, 日本建築学会構造系論文報告集, No. 372, 1987/2, 103~113頁
- 3) Yu, W.-W., Winter, G. : Instantaneous and Long-Time Deformations of R/C Beams under Vorking Loads, ACI Journal, Jul. 1960, pp.29~50.
- 4) Rüsch, H., Jungwirth, D., Wilsdorf, K.: Creep and Shrinkage, Springer Verlag, 1983, pp.70.
- 5) Washa, G. V., Fluck, P. G.: Effect of Compressive Reinforcement on Plastic Flow of Reinforced Concrete Beams, ACI J., V. 24, No. 2, Oct. 1952, pp.89~108.
- 6) Washa, G. W., Fluck, P. G. : Plastic Flow(creep) of R/C Continuous Beams, ACI J., V. 27., No. 5., Jan. 1956, pp.549~561.
- 7) 岩原昭次・嘉戸通幸: ひびわれを生じた一方向床スラブの長期曲げ性状, コンクリート工学年次論文報告集 9-2, 1987, 615~620頁
- 8) 岩原昭次:西端固定鉄筋コンクリート造一方向床スラブの長期曲げ性状:日本建築学会大会学術講演授概集(北陸), 1983/10, 1953~1956頁
- 9) 山本俊彦: 鉄筋コンクリート造床板の長期たわみに関する実験(その2), 東急建設技研年報 No.27, 1979, ?1~74頁
- 10) 松崎育弘・畑野肇・田中久雄:鉄筋コンクリート造床スラブの長期たわみに関する実験的研究(その1), 鹿島建設技研年報 No. 27, 1979, 63~68頁
- 11) 東 洋一・小森倩司:鉄筋コンクリート造床スラブの長期たわみに関する実験的研究(その1),日本建築学会大会学新講演授概集(関東),1975/10,1039,1040頁
- 12) 小標光生:長期接みの計算法(日本建築学会RC規準付13.2案),日本建築学会長期設計小委員会資料,1987/10.
- 13) 杉野目・井野・駒込・伊藤・山田:使用荷重下における鉄筋コンクリート樂のたわみについて,日本建築学会北梅道支部研報,No. 61, 1987/3, 65~68頁
- 14) 杉野日・井野・駒込:使用荷重下における鉄筋コンクリート業のたわみ解析(その1, 2),日本建築学会大会学術講演授概集(近畿),1987/10,611~614頁